

تطبيق معلمات الـ RAPD لتقدير البعد الوراثي لسلالات من زهرة الشمس

(*Helianthus annuus L.*)

نضال عبد الحسين مسان البديري

محمد احمد ابريهي الانباري

حمزه محسن كاظم الخفاجي*

الملخص

نفذت التجربة في مختبرات الوراثة لقسم علوم الحياة / كلية التربية للبنات / جامعة الكوفة خلال 2015، الهدف هو التحري عن دراسة التغايرات الجزيئية بين ستة سلالات من زهرة الشمس من أجل استخدامها لإنتاج المجن. استعملت تقنية التضاعف العشوائي المتعدد الأشكال لسلسلة الـ DNA (RAPD) المعتمد على تقنية الـ PCR و 10 من البادئات. استعملت معلمات RAPD لتقدير التغايرات الوراثية بين ستة سلالات من زهرة الشمس أنتجت جميع البادئات العشرة 110 حزمة بمعدل 11 حزمة للبادئ الواحد تراوح عدد القطع الناتجة بين 8 للبادئ OPA-04 و 14 في البادئ OPA-17 ، ويوزن جزئي تراوح بين bp1495-123. بلغ العدد الكمي والنسبة المئوية للحزم المتباينة 50 ، 45.09 % بالتتابع، بلغت أعلى نسبة مئوية للقطع المتباينة 63.64 % للبادئ OPA-19 بينما أظهر البادئ OPA-16 أوطاً نسبة مئوية للحزم المتباينة بلغ 30 %، أعطى أعلى كفاءة البادئ OPA-17 بلغت 12.73 % وأعلى قابلية تمييزية للبادئ OPA-19 و OPM-13 وبلغت 14 %. واعتمدا على البيانات الثانية والتشابه الوراثي باستخدام طريقة UPGMA في إنشاء مخطط الصلة تم فصل السلالات ضمن مجموعتين رئيسيتين هما A و B ومجاميع ثانوية ومجاميع تحت الثانوية، وأظهر تحليل المجاميع الذي تمت فيه المقارنة بين السلالات ضمن مخطط الصلة إن السلالة C أعطت تباعداً وراثياً مع بقية السلالات كان أبعدها وراثياً عن السلالة A وبلغ 0.74 . بينما قلل التباعد الوراثي بين السلالتين I و E وكذلك بين Q و I وبلغ 0.30 و 0.32 بالتباع. أشارت النتائج الى ان معلمات RAPD ذات كفاءة عالية في تشخيص التباعد الوراثي بين سلالات زهرة الشمس.

كلمات مفتاحية: PCR ، RAPD ، نقاوة وراثية ، البادئ وسلالات.

Application of RAPD Markers for Genetic Distance Assessing of Sunflower (*Helianthus annuus L.*) Lines

H. M. K. al-khafaji*

M. A. Al-anbari

N. Abdul H. M. Al-Badeiri

ABSTRACT

This study was carried out at the biology science department/College of Education-girls/kufa university Genetic Laboratories during 2015. The objective was to investigate genetic diversity among six sunflower lines. The random amplified polymorphic DNA (RAPD) based on PCR with 10 primers. Were used RAPD DNA markers were used to evaluate trends in genetic diversity among six of inbred line .All of the eleven RAPD primers produced 110 bands with average 11 bands for each primer. The number of amplified fragments produced per primer ranged from 8 for OPC-04 primer to 14 for OPA-17, primer with molecular size ranged from 123 to 1495 bp. The total number of polymorphic fragment and the percentage of polymorphism bands (50, 45.09 %) respectively. Maximum level of polymorphism was 63.64% Observed for the primer OPA-19 while Primer OPA-16 showed the lowest percentage of polymorphism reached 30% for OPA-19 and OPM-13 primers. Maximum level of primer efficiency for OPA-17 was 12.73% and were reached 14%. Based on the bivariate (1 - 0) data and genetic similarity with the use of UPGMA cluster method, the dendrogram separated the studied populations in to A and B. Cluster and secondary cluster analysis which compared between inbred lines in to dendrogram. Showed BK104 high genetic diversity was high genetic diversity between C and A . Genetic Distance that the highest estimate 0.74 was observed between line C , A . While, the lowest genetic Distance between inbred line I , E and Q , I (0.30, 0.32) respectively. Results indicated that RAPD markers were highly efficient in electing the genetic diversity among sunflower lines.

key words: RAPD, PCR, Homozygosity primers and Inbred lines.

*الباحث مستثنى من أطروحة دكتوراه للباحث الأول.

المقدمة

وجود هذه المنطقة على المجين أو عدد نسخها وأطوالها. ويتم الكشف عنها بتحليل الناتج على هلام الأكاروز، (Williams وأخرون، 1990). وبعد استخدام المعلمات الوراثية من السبل الحديثة لدراسة التباعد الوراثي بين المحاصيل كونها تعكس المستوى الحقيقي للتغيير الوراثي الموجود بين التراكيب الوراثية على مستوى الـ DNA وبالتالي فإنها تقدم معلومات أكثر دقة من التعبير المظاهري ومن معلومات الأصل الوراثي، (Erlich وأخرون 1999). يستخدم تحليل RAPD على نطاق واسع للتصنيف من مختلف الأجناس، (Devos و Gale 1992)، الأنواع، (Iqbal وأخرون ، 1995) و (Faroog وأخرون، 1995) و Stiles والتفريق بين وحدات الاختلافات بين الأنواع، (Sweeny و Mackill 1993 و 1995 و Danneberger، 1995). اندمج تحليل الـ PCR في الوراثية وبرامج التربية لتصنيف العلاقة بين مختلف السلالات، الأصناف أو الهجين إضافة إلى الأسلاف البرية والأنواع ذات الصلة في كثير من المحاصيل، (Sivolap و Solodenko ، 1998). سجل (Iqbal 2009) في دراسته لحساب بعد الوراثي لـ 8 سلالات من زهرة الشمس باستخدام مؤشرات RAPD إذ سجل أعلى بعد وراثي بلغ 0.7778 و أقلها بلغ 0.5159 ، والدراسة التي أجراها Mahmoud و Abdel-Fatah (2012) بين 13 سلالات من زهرة الشمس في جامعة قاريونس/ليبيا التي سجل فيها أعلى بعد وراثي بلغ 0.976 بين السلالات. تهدف الدراسة لمعرفة التغيرات الجزيئية بين ستة سلالات ندية من زهرة الشمس من خلال عزل وتنقية الـ DNA باستعمال مؤشرات الـ RAPD والتغييرات الجزيئية بين السلالات من أجل استخدامها في برامج التربية والتحسين.

بذور من كل سلالة والموضحة وزرعت في سنادين بمعدل ثلاثة سنادين لكل سلالة وبذرتين بكل سنانة، بعد ثلاثة أسابيع من الزراعة أخذت الاوراق الحقيقية لكل سلالة وشطفت جيداً بالماء المقطر ثم جفت وكل سلالة على حدا، والتي استخدمت في عزل وتحليل DNA باستخدام تقانة RAPD.

إن محصول زهرة الشمس *Helianthus annuus* L. هو أحد ثلاث محاصيل حولية زيتية رئيسية في العالم بجانب فول الصويا والسلجم ولذا فهو من المصادر الأساسية للزيت النباتي في العالم. ولغرض النهوض بهذا المحصول وزيادة إنتاجيته في وحدة المساحة يقتضي الأمر إنتاج تراكيب وراثية جديدة وذات إنتاجية عن طريق تضريب بين سلالات متباينة وراثياً. وإن الاعتماد على الصفات المورفولوجية هي من أولى الطرق المستخدمة في دراسة أداء التراكيب الوراثية وقد حققت نتائج ملموسة، لكن يعبأ عليها تأثيرها بالبيئة المحيطة، لذا أدخلت في الوقت الحالي تقنيات جديدة تعتمد على دراسة التركيب الوراثي بحد ذاته من دون أن يكون هناك تأثير للبيئة، تعرف بالمؤشرات الوراثية وتدعى بمؤشرات الـ DNA وتعتمد على الـ DNA كمادة أساس وتعرب بأنها المادة الوراثية المستقرة التي لا تتأثر بالبيئة، حيث تتميز هذه المؤشرات بالاستقرارية Stability بعكس المؤشرات الوراثية المعتمدة على الصفات المورفولوجية التي تتدخل مع البيئة، فضلاً عن ذلك فإن الـ DNA موجود في جميع خلايا الكائن الحي وفي أي مرحلة عمرية ويمكن استخلاصه من أي جزء في النبات، (Munhoz وأخرون 2009). وتعد مؤشرات التضاعف العشوائي متعدد الأشكال Random Amplified Polymorphic DNA (RAPD) من أولى المؤشرات التي اعتمدت على تضاعف سلسلة الـ PCR (Polymerase Chain Reaction) وأخذت مجال كبير في التطبيق، وهي تستند على بادئات مفردة عشوائية مؤلفة من عشرة قواعد نايتروجينية تقرن مع مكملاتها على المجين يوجد إنزيم البمرة Polymerase لاظهور تباين بين التراكيب الوراثية من خلال وجود أو عدم

المواد والطرائق

نفذت التجربة في مختبر الوراثة الجزيئية في قسم علوم الحيات/كلية التربية للبنات/جامعة الكوفة. استخدمت في هذا البحث 6 سلالات من زهرة الشمس في الجبل السابع والتي كان مصدرها أصول وراثية تم الحصول عليها من محطة أبحاث أبي غريب ، والشركة العامة لأبحاث المحاصيل الزيتية ومديرية زراعة بابل/التجهيزات الزراعية وهي موضحة كما في الجدول رقم (1). أخذت ستة

جدول رقم (1): اسم السلالة والأصل الوراثي والمنشأ لسلالات من زهرة الشمس.

المنشأ	الأصل الوراثي	رمز السلالة	رمز الرمز	المنشأ	الأصل الوراثي	رمز السلالة	رمز الرمز
عرافي	زهرة العراق	IR1K3G1	I	تركي	Coban	CO3L7Q3	C
فرنسي	EuroFlore	EUF7L5G1	E	عرافي	قدس	QU4K2G2	Q
أرجنتيني	Argensun	ARG5L1Q1	A	تركي	Flamme	FL1H1G1	F

2 - خليط التفاعل: Reaction Mixture (Master Mix)

جهز خليط التفاعل الرئيسي master mix من قبل شركة Bioneer في أنابيب خاصة معقمة وتحتوي كل أنبوبة على المكونات في جدول (2) وبالتركيز المبين إزاء كل مادة:

الجدول (3) : مكونات خليط التفاعل الرئيسي .Master mix

Component	Reaction size (20 μ l reaction)
DNA polymerase	1Unit
Each: dNTP (dATP, dCTP, dGTP, dTTP)	250 μ M
Tris-HCl (pH 9.0)	10 mM
KCl	30 mM
MgCl ₂	1.5 mM
Stabilizer and tracking dye	5 μ M

- الترhill الكهربائي على هلام الاكاروز Agarose Gel Electrophoresis

أجري الترhill الكهربائي وفقاً لـ Russel و Sambrook (2001) كما يلي:

(a) تم إعداد لوح التحميل باستخدام لوح زجاجي إذ أحيطت حافات اللوح بشريط لاصق قوي وثبت عليه المشط الخاص لتكوين الحفر عند أحد أطراف الهلام. مسندتها في وحدة الترhill الكهربائي الأفقيّة المتمثّلة بالحوض المستعمل للتراhill الكهربائي وملى الحوض بدارئ TBE بحيث يغطي سطح الهلام.

(g) تم إضافة 5 μ m من الدليل الحجمي DNA Ladder في أول حفرة. واستعمل هذا لمعرفة حجم قطع DNA المفصولة.

(h) وضع 3 ml من عينة DNA على غطاء شمعي مطاط Parafilm، وخلط مع 2 ml من صبغة التحميل، وثم خلط جيداً باستخدام ماصة دقيقة.

(i) بعد ذلك تم إغلاق جهاز الترhill الكهربائي ومرر التيار الكهربائي بمقدار 70 فولت لمدة 45 دقيقة.

(j) فحص الهلام باستعمال مصدر للأشعة فوق البنفسجية UV transilluminator عند طول موجي 240، 366 nm، صور بعدها الهلام.

(b) أضيفت 5 μ m من قالب DNA، 2 μ m من البادي إلى أنبوبة التفاعل الرئيسي Master Reaction الجاهزة

1 - الباديات primer جهزت الباديات المعتمدة في هذه الدراسة من قبل شركة Bioneer في شكل مجفف Lyophilized ، وكان عددها 10 بادي، وتم تحضيرها باستعمال داري ddH₂O للحصول على التركيز النهائي (المحلول الأصلي) 100 pmol/ μ L ، ومن هذا محلول تم تحضير البادي الذي يستعمل في تفاعل البلمرة بتركيز 10 pmol/ μ L جدول (2).

الجدول (2) : يبيّن رقم البادي، اسم البادي وتتابع النيوكليوتيدات.

اسم البادي (3 → 5) تتابع البادي	ت
AGCCAGCGAA	OPA-16
GACCGCTTGT	OPA-17
CAAACGTCGG	OPA-19
TGCGCCCTTC	OPB-05
CCGCATCTAC	OPC-04
GATGACCGCC	OPC-05
GGACCCAACC	OPD-02
GGTGGTCAAG	OPM-13
CCTTCGGAAG	OPT-10
GGGTGTGTAG	OPT-13

- عزل الـ DNA من النماذج النباتية DNA Isolation from Plant Samples

تم عزل الـ DNA من الأوراق النباتية للأصناف الستة المعتمدة في الدراسة باستعمال عدة استخلاص جاهزة Kit مجهزة من شركة Geneaid، وهذه العدة توفر طريقة سريعة وسهلة للحصول على DNA نقى من الأنسجة النباتية.

(b) حضر هلام الاكاروز بتركيز 1% عن طريق إذابة 1 gm من الاكاروز في 10 ml من داري TBE 10x وثم يكمل إلى 100 ml من الماء المقطر.

(c) سخن الخليط في فرن الميكروويف حتى اذيب كل مسحوق الاكاروز، واخرج المحلول من الميكروويف قبل وصوله إلى مرحلة الغليان. ثم ترك الهلام ليبرد إلى 65 مئوية.

(d) أضيف 5 مايكرولتر من محلول بروميد الايثيديوم (mg/ml 10) بعد أن برد الخليط، وخلط بلفاف.

(e) سكب الهلام ببطء في رف الهلام، وتجنب تكون أي فقاعات في الهلام لذا أزيلت لكي لا يسمح للهلام أن يتشهو ورثك لمدة تصل من 20 إلى 30 دقيقة.

(f) رفع المشط والشريط اللاصق بهدوء من الاكاروز المتصل بالوثبات الصفيحة على

ويكمل الحجم النهائي للتفاعل بإضافة الماء المقطر متزوج الايونات ليصل حجم المحلول 20 μ l.

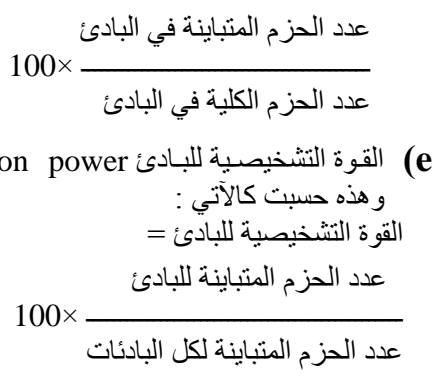
(c) ثم وضعت في جهاز المبلمر الحراري Thermocycler على برنامج خاص لكل مجموعة من البادئات وكما يلي:

- تفاعل البوليراز المتسلسل Polymerase Chain Reaction

تم تطبيق المؤشر الجزيئي المعتمد في هذه الدراسة RAPD من خلال تقنية PCR وفق الخطوات التالية:

(a) أجري العمل بارتداء القفازات وفي حجرة التعقيم مع حفظ المحاليل كافة على الثلاج Hood

Time	Temper.	Step	المرحلة	Primer
5 min	94°C	Initial Denaturation		OPA-17
	No. of Cycles = 40 Cycles			OPB-05
1 min	94°C	Denaturation		OPC-04
2 min	40°C	Annealing		OPC-05
2 min	72°C	Extension		OPD-02
				OPM-13
5 min	72°C	Final Extension		OPT-10
3 min	94°C	Initial Denaturation		OPA-16
	No. of Cycles = 45 Cycles			OPA-19
20 sec	94°C	Denaturation		OPT-12
20 sec	37°C	Annealing		
40 sec	72°C	Extension		
10 min	72°C	Final Extension		



(e) القوة التشخيصية للبادي :
و هذه حسبت كالتالي :
القوة التشخيصية للبادي =
عدد الحزم المتباينة للبادي
100 ×—————
 عدد الحزم الكلية في البادي
- ايجاد العلاقات الوراثية بين السلالات .

تم تحليل النتائج حسب جداول التوصيف المعدة مسبقاً باستخدام البرنامج الإحصائي الحيوي PAST الإصدار 6.2 ، (Hammer , 2001) وكالاتي :

(a) الأبعاد الوراثية Genetic distances
اشتات مصفوفة الأبعاد الأقلidiّة Euclidean distances matrix
Basato na distância entre os genótipos das variedades que serviu de base para a análise genética .

(b) رسم مخطط شجرة القرابة الوراثية Dendrogram
رسم مخطط شجرة القرابة الوراثية للسلالات باستخدام البرنامج أعلاه وبحسب الأبعاد الأقلidiّة بين هذه الأفراد وذلك بطريقة المجموعة الزوجية غير الموزونة مع المتوسط الحسابي (UPGMA) Unweighted pair group method with arithmetic average وذلك لبيان توزيع هذه السلالات إلى مجاميع أو عناقيد Clusters رئيسية وثانوية اعتماداً على البعد بينها وبشكل مخطط شجرة القرابة الوراثية Dendrogram .

(c) تحليل المكون الرئيسي (PCA) Analysis of Principal Component

رسم مخطط تحليل المكون الرئيسي ثانوي الأبعاد للسلالات قيد الدراسة باستخدام البرنامج أعلاه وذلك لعرض تأكيد النتائج مخطط شجرة الأبعاد الوراثية، كما تم إيجاد التباين المشترك للمكونات الرئيسية الـ 10 للمؤشرات المظهرية والجزئية التي تم استخدامها في الدراسة.

بعد انتهاء وقت التفاعل رفعت الأنابيب من جهاز المبلمر الحراري وتم سحب 5 Alm من الأنابيب وتحميلها بحفر هلام الاكاروز المحضر مسبقاً بتركيز 1 %، مع تحويل الدليل الاحجمي DNA ladder على أحد الجوانب. ثم رحلت العينات وذلك بتشغيل جهاز الترحييل الكهربائي Electrophoresis لمدة ساعة إلى ساعتين. بعدها تعریض الهلام للأشعة فوق البنفسجية على جهاز Gel Hashemi document-tation system للتصوير ، (2009).

- تقدير الأحجام الجزيئية للحزم المميزة Unique bands
قدرت الأحجام الجزيئية للقطع المميزة للأصناف وذلك باستخدام البرنامج الحاسوبي Photocapt Mw الإصدار 10 ، وذلك بالمقارنة مع DNA Ladder القياسي المستعمل .

- تحليل المؤشرات الجزيئية للأصناف والسلالات
- تحليل نتائج البادئات المستعملة
حللت نتائج التوصيف الجزيئي باستخدام صور هلام الاكاروز للعينات المرحلية إذ تم إنشاء جداول التوصيف

بإعطاء وجود الحزمة الرقم 1 وغيابها الرقم 0 . حسبت أعداد الحزم الكلية والمتباعدة ذات التعدد الشكلي وتم تقدير المعلمات (parameters) الآتية :

- (a) عدد الحزم الكلية المنتجة من كل بادئ .
 (b) كفاءة البادئ % Primer efficiency . وحسب من المعادلة :

$$\text{نسبة كفاءة البادئ} = \frac{\text{نسبة كفاءة البادئ}}{100}$$

العدد الكلي لحزم البادئ
 $\times 100$
 عدد الحزم الكلية لجميع البادئات

- (c) عدد الحزم المتباعدة (ذات التعدد الشكلي) Polymorphic bands
 (d) النسبة المئوية المتباعدة % وحسبت كالاتي :

$$\text{نسبة الحزم المتباعدة} = \frac{\text{نسبة كفاءة البادئ}}{\text{نسبة كفاءة البادئ}} \times 100$$

جدول (4) تركيز ونقاوة الـ DNA للعينات المستخلصة من ست سلالات لزهرة الشمس .

النقاوة قراءة الجهاز 280\260	تركيز الـ DNA $\mu\text{g/ml}$	الرمز	N.
1.711	3.169	C	1
2.159	7.452	Q	2
1.840	6.571	F	3
1.728	4.457	I	4
1.724	7.146	E	5
1.713	9.611	A	6

- نتائج عزل وتوصيف DNA المجيني من أوراق السلالات:

من خلال إجراء عملية عزل الأحماض النوويية الكلية من الأوراق الفتية للسلالات باستخدام مادة النايتروجين السائل حسب الطريقة الموصوفة في كيت جينوم النبات (Genomic DNA Mini Kit (Plant Geneaid) ، تم الحصول على كميات مناسبة من الـ DNA الكلي (المجيني) وحسبت نتائج كمية الـ DNA المستخلص والنقاؤة بالاعتماد على قراءة الامتصاص لطيف الأشعة فوق البنفسجية عند الطول الموجي 260 nm و 280 nm وذلك عند فحص العينات بجهاز Nanodropes spectro-photometer إذ بلغ أعلى تركيز للأحماض النووية $9.611 \mu\text{g/ml}$ للسلالة A بلغت نقاوته 1.713 ، وأقل تركيز للسلالة C إذ بلغ $3.169 \mu\text{g/ml}$ وبلغت نقاوته 1.711 كما في الجدول (4).

2.3.4- نتائج الحزم باستعمال بادئات RAPD والمناقشة .

جدول (5) : المعلمات الخاصة بالبادئات المستخدمة بالدراسة في تحليل مؤشرات RAPD لستة سلالات من زهرة الشمس .

الوزن الجزيئي bp	نسبة القابلية % التمييزية	نسبة كفاءة % البادئات	نسبة الحزم % المتباعدة	الحزم المتباعدة	الحزم الناتجة	البادئ
1385-189	6	9.09	30.00	3	10	OPA-16
1135-136	10	12.73	35.71	5	14	OPA-17
1493-189	14	10.00	63.64	7	11	OPA-19
1124-123	10	9.09	50.00	5	10	OPB-05
766-216	6	7.27	37.50	3	8	OPC-04
1495-200	12	10.00	54.55	6	11	OPC-05
615-122	12	11.82	46.15	6	13	OPD-02
1297-104	14	10.91	58.33	7	12	OPM-13
1095-175	6	8.18	33.33	3	9	OPT-10
978-128	10	10.91	41.67	5	12	OPT-13
1495-123			45.09	50	110	المجموع

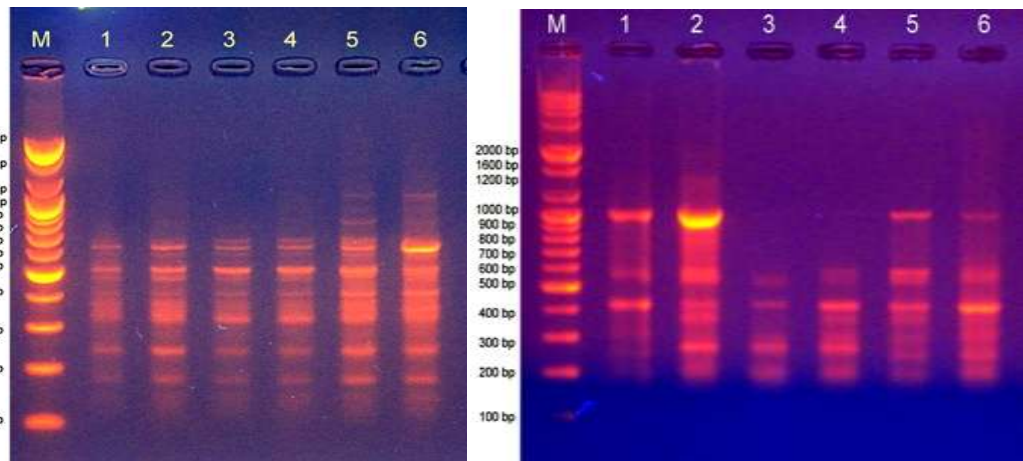
حين اعطي البادئ OPA-16 وOPT-10 وOPC-04 عدد حزم متباعدة بلغ 3 وبنسبة 30.00 % ، و 33.33 % و 37.50 % على التوالي ، OPA-17 ، وبلغت أعلى نسبة القابلية التمييزية 14% في البادئ OPA-19 ، تميزت البادئات المستخدمة بوزن جزيئي تراوح بين 123 – 1495 bp .

أشارت النتائج الموضحة في جدول (5) والأشكال (1 و 2 و 3 و 4 و 5 و 6 و 7 و 8 و 9 و 10) إن البادئ

واعطى البادئ OPA-19 أعلى نسبة حزم متباعدة بلغ 63.64 % ، كانت أعلى نسبة كفاءة 12.73 % في البادئ

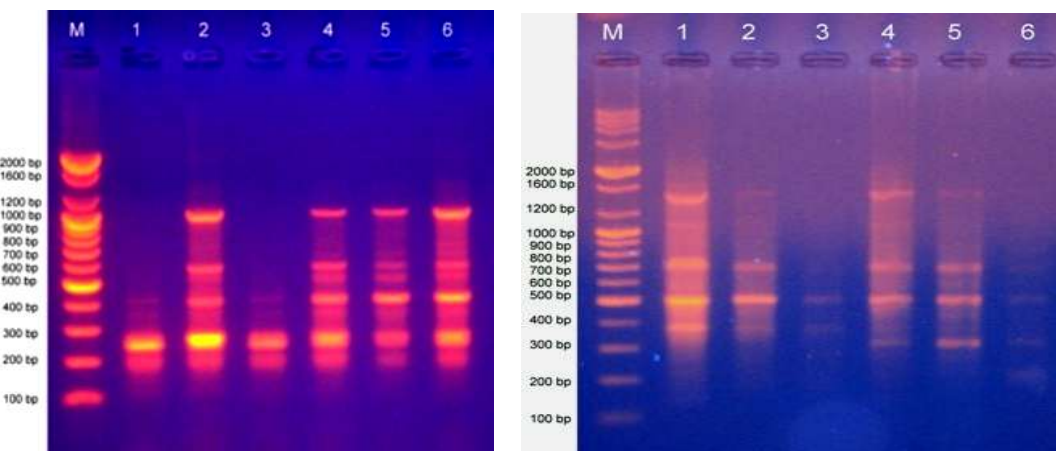
اعطى اعلى عدد من الحزم بلغ 14 حزمة في حين
اعطى البادئ OPA-17 اقل عدد من الحزم مقدارها 8 ، بلغ
عدد الحزم الكلية 110 حزمة بينما بلغ عدد الحزم المتباعدة

الكلية 50 حزمة وبنسبة 45.09% اذ اعطى البادئ-
OPM-13 عدد حزم متباعدة بلغ 7 وبنسبة 63.64% و
عالي، فـ 58.33% على



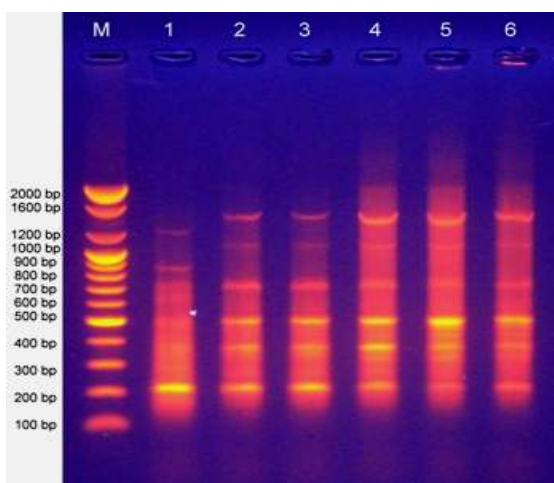
شكل (2) : نواتج تفاعل RAPD الناتجة من تفاعل البلمرة باستعمال البادئ OPA-17 على هلام الاكاروز بتركيز 1% لستة سلالات من زهرة الشمس (M : يمثل المؤشر القياسي بحجم 100 زوج قاعدي) ، الارقام من 1 - 6 تمثل السلالات .

شكل (1) : نواتج تفاعل RAPD الناتجة من تفاعل البلمرة باستعمال البادئ OPA-16 على هلام الاكاروز بتركيز 1% لستة سلالات من زهرة الشمس (M : يمثل المؤشر القياسي بحجم 100 زوج قاعدي) ، الارقام من 1 - 6 تمثل السلالات .

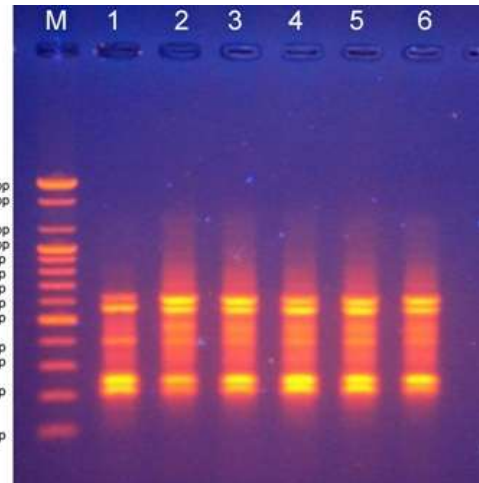


شكل (4) : نواتج تفاعل RAPD الناتجة من تفاعل البلمرة باستعمال البادئ OPB-05 على هلام الاكاروز بتركيز 1% لستة سلالات من زهرة الشمس (M : يمثل المؤشر القياسي بحجم 100 زوج قاعدي) ، الارقام من 1 - 6 تمثل السلالات .

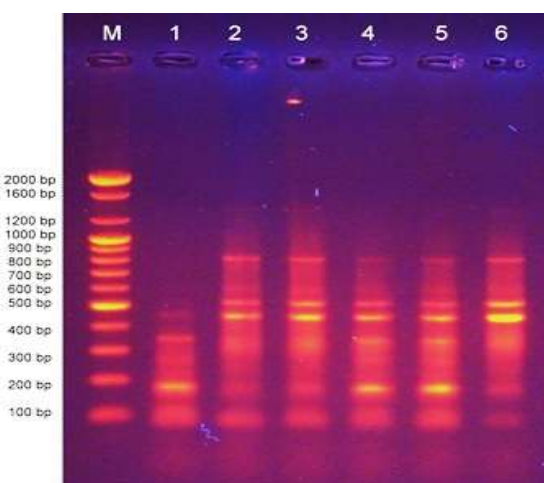
شكل (3) : نواتج تفاعل RAPD الناتجة من تفاعل البلمرة باستعمال البادئ OPA-19 على هلام الاكاروز بتركيز 1% لستة سلالات من زهرة الشمس (M : يمثل المؤشر القياسي بحجم 100 زوج قاعدي) ، الارقام من 1 - 6 تمثل السلالات .



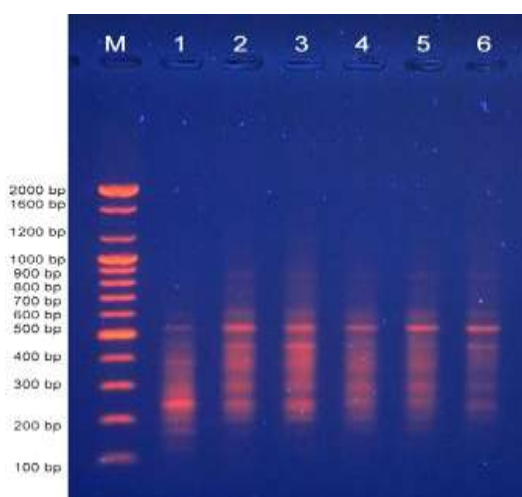
شكل (6) : نواتج تفاعل RAPD الناتجة من تفاعل البلمرة باستعمال البادئ OPC-05 على هلام الاكاروز بتركيز 1% لستة سلالات من زهرة الشمس (M : يمثل المؤشر القياسي بحجم 100 زوج قاعدي) ، الارقام من 1 - 6 تمثل السلالات .



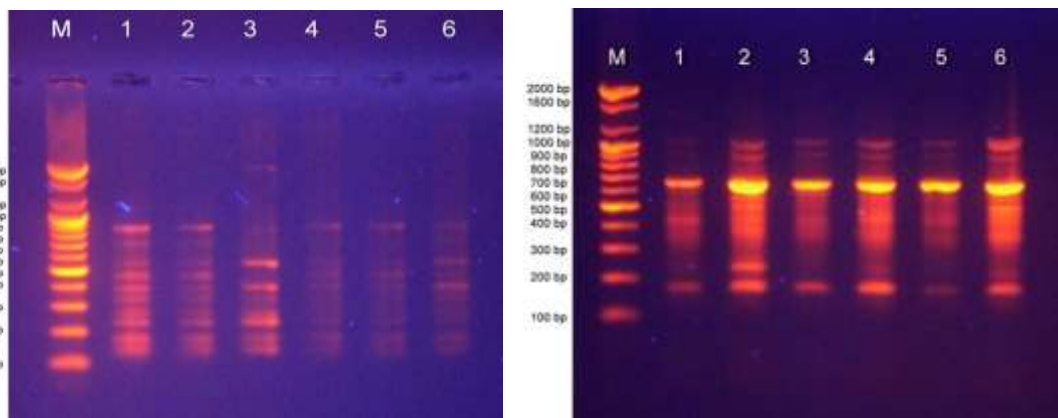
شكل (5) : نواتج تفاعل RAPD الناتجة من تفاعل البلمرة باستعمال البادئ OPC-04 على هلام الاكاروز بتركيز 1% لستة سلالات من زهرة الشمس (M : يمثل المؤشر القياسي بحجم 100 زوج قاعدي) ، الارقام من 1 - 6 تمثل السلالات .



شكل (8) : نواتج تفاعل RAPD الناتجة من تفاعل البلمرة باستعمال البادئ OPM-13 على هلام الاكاروز بتركيز 1% لستة سلالات من زهرة الشمس (M : يمثل المؤشر القياسي بحجم 100 زوج قاعدي) ، الارقام من 1 - 6 تمثل السلالات .



شكل (7) : نواتج تفاعل RAPD الناتجة من تفاعل البلمرة باستعمال البادئ OPD-02 على هلام الاكاروز بتركيز 1% لستة سلالات من زهرة الشمس (M : يمثل المؤشر القياسي بحجم 100 زوج قاعدي) ، الارقام من 1 - 6 تمثل السلالات .



شكل (10) : نواتج تفاعل RAPD الناتجة من تفاعل البلمرة باستعمال البادي OPT-13 على هلام الاكاروز بتركيز 1% لستة سلالات من زهرة الشمس (M : يمثل المؤشر القياسي بحجم 100 زوج قاعدي) ، الأرقام من 1 - 6 تمثل السلالات .

أوضحت بأن المسافة الأقلية بين السلالات كانت عالية بالمقارنة مع ما توصل إليه Iqpal (2009) في دراسته لحساب بعد الوراثي لـ 8 سلالات من زهرة الشمس باستخدام مؤشرات RAPD إذ سجل أعلى بعد وراثي بلغ 0.7778 وأقلها بلغ 0.5159 ، والدراسة التي أجراها Mahmoud و Abdel-Fatah (2012) التي سجل فيها أعلى بعد وراثي بلغ 0.976 بين السلالات .

جدول (6) : الأبعاد الأقلية باستخدام مؤشرات RAPD بين ست سلالات من زهرة الشمس .

A	E	I	F	Q	C	G.
					0	C
				0	0.62	Q
			0	0.47	0.50	F
		0	0.36	0.32	0.52	I
	0	0.30	0.52	0.51	0.70	E
0	0.35	0.39	0.55	0.35	0.74	A

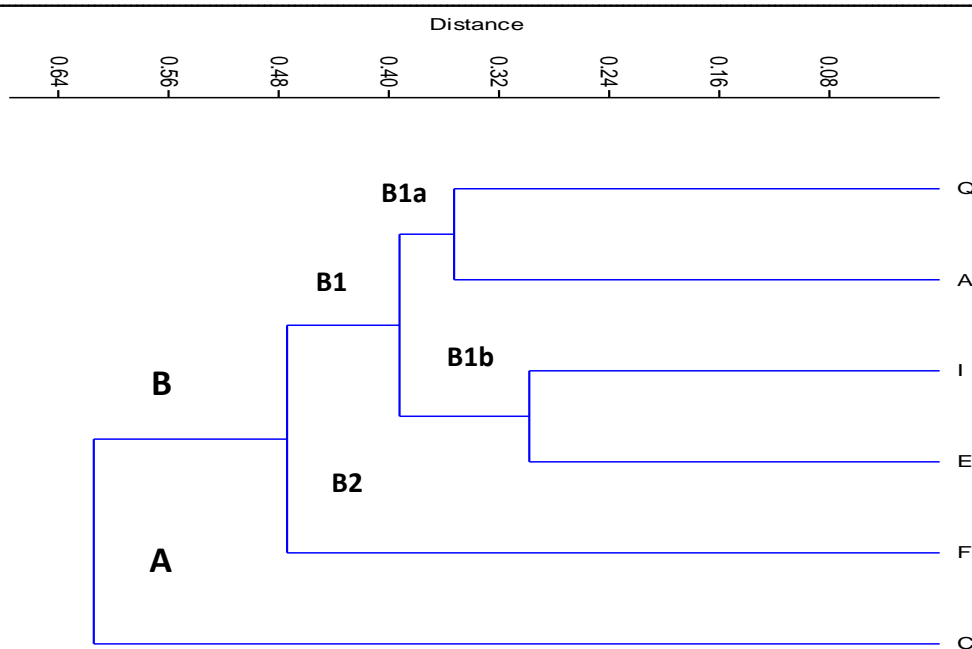
- شجرة القرابة الوراثية بين السلالات استناداً إلى مؤشرات RAPD

الثانية B والبعد الأقلidi بين المجموعتين الرئيستين كان 0.62 ، كما انقسمت المجموعة الرئيسة الثانية إلى مجموعتين فرعيتين B1 و B2 والبعد الأقلidi بينهما 0.48 التي ضمت في الفرع الأول مجموعتين فرعيتين ثانويتين B1a و B1b والبعد الأقلidi بينهما 0.35 تضمنت المجموعة

يوضح الشكل (11) مخطط التوزيع العنقودي (Cluster Analysis) اعتماداً على نتائج 10 بادي للتكرارات البسيطة الترافقية الداخلية بين السلالات الستة المزروعة في العراق قد توزعت في مجموعتين رئيسيتين المجموعة الأولى A والتي تضمنت السلالة C والمجموعة

أما السلالة F وقعت ضمن المجموعة الفرعية الثانية .

الفرعية الثانية الأولى السلالتين Q و A أما المجموعة الفرعية الثانية تضمنت I و E



الشكل (11) : شجرة القرابة الوراثية Dendrogram لستة سلالات حسب طريقة UPGMA اعتماداً على نتائج 10 بادئات وتضاعف العشوائي المتعدد الأشكال لمتسلسلة DNA (RAPD) .

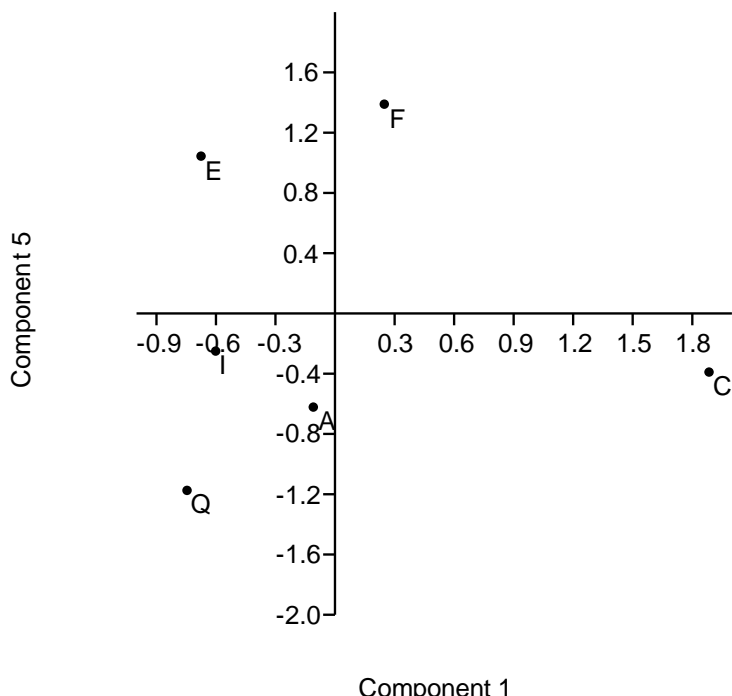
- نتائج تحليل المكون الرئيسي للسلالات استناداً إلى مؤشرات RAPD

نسبة تباين وراثي بلغت 6.972 % ومجموعهما 95.239 % أعتماداً على المؤشرات المظهرية. في حين بين الجدول نفسه إلى وقوع السلالات في مكونين رئيسيين بالإضافة على مؤشرات RAPD إذ سجل 1 Component نسبة تباين مقدارها 56.287 % بينما أعطى المكون الثاني نسبة تباين بلغت 20.659 % ومجموعهما 76.946 % وهذا يعد مؤشراً إيجابياً على كفاءة بادئات RAPD المستخدمة في الدراسة كونها الأكثر فعالية في تشخيص التباينات بين السلالات. إذ تبين من خلال النتائج قدرة هذه المؤشرات على تقدير حجم التغيرات على المستوى الجزيئي وعلى المستوى المتعامد للمحورين وتوزيعها من خلال جميع المواقع الجينية المدروسة مما يعكس واقعية هذه المؤشرات وشموليتها لكل مناطق المادة الوراثية للكائن الحي.

أظهرت نتائج تحليل المكونات Principal Component Analysis (PCA) الموضحة في الشكل (12) تطابق واضح مع نتائج شجرة القرابة الوراثية المبنية في الشكل (11)، إذ أوضحت نتائج التوزيع مطابقة المجاميع المتكونة لشجرة القرابة الوراثية استناداً إلى مؤشرات RAPD والتي توضح توزيعها في مجموعتين رئيسيتين ضمت المجموعة الأولى السلالة C في حين ضمت المجموعة الثانية بقية السلالات. كما يشير الجدول (6) إلى وقوع السلالات في مكونين رئيسيين بالإضافة إلى مؤشرات RAPD وعلى الصفات المظهرية المشتركة فيما بينها من خلال تحليل المكونات Principal Compo-ment Analysis (PCA) باستخدام برنامج PAST إذ سجل 1 Component نسبة تباين مقدارها 88.267 % في حين أعطى Component 2 نسبة

جدول (6): تحليل المكونات الرئيسية استناداً إلى مؤشرات RAPD والمؤشرات المظهرية للسلالات.

المؤشرات المظهرية	% التباين	المكون الرئيسي
RAPD		
88.267	56.287	1
6.972	20.659	2
3.911	15.152	3
0.777	7.3602	4
0.074	0.5417	5



شكل (12) : توزيع ستة سلالات على المستوى المتعامد حسب تحليل (PCA)
بالاعتماد على نتائج مؤشرات الـ RAPD .

المصادر

- Devos, K.M. and Gale M. D. (1992) The use of Random Amp-lified Polymorphic DNA Markers in wheat. *Theor. Appl. Genet.*, 84: 567-572.
- Faroog, S., Shah T.M. and Arif M. (1995) Utilization of RAPD markers for the identification of cultivated and wild rice species. *Pakistan Journal of Botany* 27: 127-138.
- Hammer D., Harper A. and Ryan P. (2001) PAST: *Palaeontological Statistics*: 1-31.
- Hashemi, S., Mir mohammadi-Maibody S., Nematzadeh G. and Arzani A. (2009) Identification of rice hybrids using microsatellite and RAPD markers. *African J. Biotech.*, 8(10): 2094-2101.
- Iqbal, M. A. (2009) Genetic Basis of Variation in Achene Yield and Oil Contents in Sunflower (*Helianthus annuus L.*). the part. fulfill. of the req. the deg. of Doc. of Philo.
- Erlich, A.; Gelfand D., and Sminsky J., (1999) Recent adva-nces in polymerase chain reaction. *Sci. J.* 252: 1643
- in plant Br. and Gen.; Univ. of Agric. Faisalabad, Pakistan.
- Iqbal, M. J., Paden D. W. and Ryburn A. L. (1995) Assessment of genetic relationships among rhododendron species, varieties and hybrids by RAPD analysis. *Scientia Horticulture* 63: 215-223.
- Mackill, D.J., Salam, M. A., Wang, Z. Y., and Tanksley, S. D. (1993). A major photoperiod-sensitivity gene tagged with RFLP and isozyme markers in rice. *Theor. Appl. Genet.* 85, 536–540.
- Mahmoud, A. M and Abdel-Fatah B. E. (2012) Analysis of genetic diversity among sunflower genotypes using Agromorphological traits and molecular

- markers. *Aust. j. of bas. and appl. Sci.*, 6(13) :419-432.
- Munhoz, R. E. F., Prioli A. J., Amaral Júnior A. T. and Scapim C. A. (2009) Genetic distances between popcorn populations based on molecular markers and correlations with heterosis estimates made by diallel analysis of hybrids. *Genet. Mol. Res.* 8: 951-962.
- Sambrook, J. and Russell D. W. (2001) Molecular Cloning: a Laboratory Manual. 3nd ed. New York: Cold Spring Harbor Laboratory Press.
- Sivolap, Yu .M. and Solodenko A. E. (1998) Inter- and Intraspecies Differentiation in the Genus *Helianthus* by RAPD Analysis. *Helia*, 21 (29): 9-18.
- Stiles, J. I., Lemme C., Sondur S., Morshidi M. and R. Manshardt (1993) Using RAPD for evaluating genetic relationships among papaya cultivars. *Theor. Appl. Genet.* 85: 697-70t.
- Sweeny, P. M. and Danneberge T. K. (1995) RAPD characterization of *Poa annua* L. Populations in golfcourse greens and fairways. *Crop Science* 35: 889-894.
- Williams, J. G., Kubelik A. R., Livak K. J., Rafalski J. A. and Tingey S. V. (1990) DNA poly-morphisms amplified by arbitrary primers are useful as genetic markers. *Nucleic Acids Res.*, 18: 6531–6535.